

(547) 鋼材の冷却過程における固体内熱移動

東北大学大学院 ○渡辺 敦

東北大学工学部 谷口 尚司, 菊池 滉

I. 緒言 鋼材の冷却に関する研究は種々の観点から行なわれているが、変態過程を考慮した研究は少ない。そこで前報¹⁾では噴流水および噴流ガスによる銅、ステンレス鋼および炭素鋼(S10C, SK5, SK3)の冷却実験を行ない、変態を伴う場合の冷却特性を検討した。本報では前報にひきつづき、変態過程を考慮した伝熱モデルにより前報の結果を解析した。さらに伝熱解析に不可欠な物性値の1つである熱拡散率を簡便に測定しうる装置を試作し、2, 3の測定結果を得た。

II. 伝熱モデルによる冷却現象の解析 Fig. 1に前報の実験系を示した。固体内1次元熱伝導を仮定すれば固体内温度に関する基礎式は(1), (2)式で与えられる。

$$\rho C_p \frac{\partial \theta}{\partial t} = \frac{\partial}{\partial x} (\lambda \frac{\partial \theta}{\partial x}) - \rho \Delta H \frac{\partial P}{\partial t} \quad (1)$$

$$\left. \begin{aligned} t=0 &: 0 < x < L : \theta = \theta_0 \\ t>0 &: x=0 \quad : \lambda \frac{\partial \theta}{\partial x} = h(\theta - \theta_w) \\ &x=L \quad : \lambda \frac{\partial \theta}{\partial x} = 0 \end{aligned} \right\} \quad (2)$$

(1)式右辺第2項は変態による発熱項で、変態としてはパーライト変態およびマルテンサイト変態の2つを考慮した。

変態中の組織率PはCCT図に基づく変態開始および終了温度 θ_s , θ_f および最終変態率 P_e より(3)式で近似的に求めた。

$$P = P_e \left\{ 1 - \left(\frac{\theta - \theta_f}{\theta_s - \theta_f} \right)^2 \right\} \quad (3)$$

また物性値 ρ , C_p , λ は各組織の物性値と組織率より加成性を仮定して求めた。以上の式をCCT図を参照しながら数値的に解いて固体内温度の計算値を求めた。Fig. 2および3に共析鋼(SK5)の場合の計算値と実測値とを示した。空冷および水冷のいずれも計算値は実測値とよく一致している。

III. 热拡散率の測定 赤外線加熱装置を用い、定速昇温法による熱拡散率測定装置を試作した。試料は直径30mm, 厚み5mmの円板で、その上、下に同材質の円板を重ねて軸方向の熱伝導を防止した。試料を側面から一定速度で昇温し、試料内の2点、($r_1=0$, $r_2=1.25\text{cm}$)の温度差 $\Delta\theta$ を測定した。熱拡散率 α は $\Delta\theta$ より(4)式を用いて算出した。

$$\alpha = \nu (r_2^2 - r_1^2) / 4 \Delta \theta \quad (4)$$

ここに ν は昇温速度($^{\circ}\text{C}/\text{s}$)である。

Fig. 4にステンレス鋼について求めた α を例示した。本法による α の測定値は文献値²⁾とよく一致している。

文献 1) 村上, 谷口, 菊池, 只木: 鉄と鋼, 68(1982), S354

2) Y.S.Touloukian et al. Ed. "Thermal Diffusivity" IFI/Plenum, N.Y., (1973), p.351.

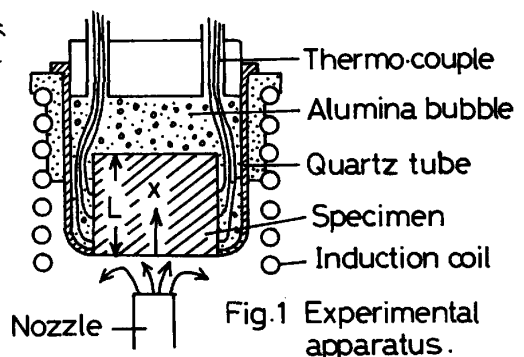


Fig. 1 Experimental apparatus.

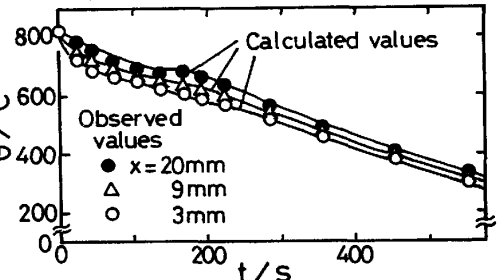


Fig. 2. Temperature change with time for gas cooling.

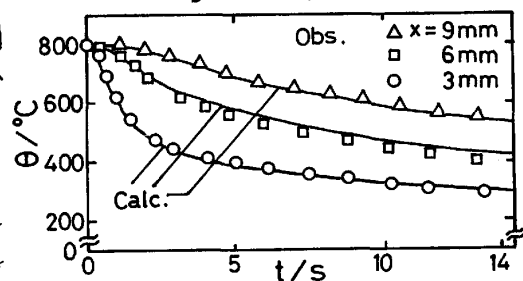


Fig. 3. Temperature change with time for water cooling.

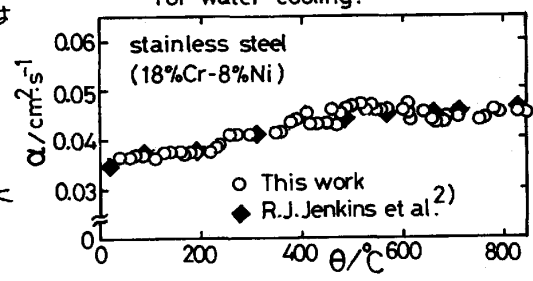


Fig. 4. Observed values of α .